

· 实验室研究 ·

江苏省近期急性胃肠炎暴发中诺如病毒分子特征分析

付建光 艾静 靳森 刘成 沙丹 姚萍 吴斌 邱贤 鲍昌俊 朱叶飞 汤奋扬

【摘要】 目的 了解江苏省胃肠炎暴发疫情中诺如病毒(NoV)感染状况,并对其病原分子流行病学特征进行初步研究。方法 收集江苏省2012年10月至2013年3月7起胃肠炎暴发疫情患者肛拭子标本共67份,采用实时荧光RT-PCR定性检测,NoV阳性标本用RT-PCR扩增其聚合酶区及VP1区基因片段进一步测序分型。结果 7起疫情均为NoV感染引起的暴发,检测阳性率为67.2%(45/67)。全部45株阳性毒株序列分析表明7起疫情中除一起是由G II.3型感染引起外,其余6起均由新G II.4型感染引起,其中38株毒株与2012年澳大利亚参考株G II.4/Sydney株同源性均在99%以上。进一步对6株新型Sydney变异株的衣壳蛋白VP1区扩增测序,并与9株近年流行株的VP1区氨基酸序列比对,发现该6株毒株的VP1区部分氨基酸已出现突变,而氨基酸位点的突变是与病毒抗原性密切相关。结论 江苏省7起疫情暴发聚集且感染毒株型别单一,说明已出现新NoV变异株,其原型株G II.4/Sydney已在国外多地引起暴发和流行,提示该毒株将是今后防控监测的重点。

【关键词】 诺如病毒; 暴发; 基因型; G II.4/Sydney变异株

Molecular characteristics of acute gastroenteritis outbreaks caused by norovirus, in Jiangsu province FU Jian-guang¹, AI Jing¹, JIN Miao², LIU Cheng³, SHA Dan⁴, YAO Ping⁵, WU Bin¹, QI Xian¹, BAO Chang-jun¹, ZHU Ye-fei¹, TANG Fen-yang¹. 1 Key Lab of Enteric Pathogenic Microbiology, Ministry of Health, Jiangsu Provincial Center of Disease Control and Prevention, Nanjing 210009, China; 2 National Institute for Viral Diseases Control and Prevention, Chinese Center for Disease Control and Prevention; 3 Suzhou Center of Disease Control and Prevention; 4 Wuxi Center for Disease Control and Prevention; 5 Changzhou Center for Disease Control and Prevention

Corresponding author: TANG Fen-yang, Email: tfyepi@jscdc.cn

This work was supported by grants from the Jiangsu Province Health Development Project with Science and Education (No. ZX201109, No. RC2011084).

[Abstract] **Objective** To study both the epidemiologic and molecular characteristics of outbreaks caused by norovirus (NoV) with its variants, in Jiangsu. **Methods** 67 specimens from seven gastroenteritis outbreaks were collected from October 2012 to March 2013 in Jiangsu. NoV genegroup was detected by Real-Time RT-PCR. NoV portions of RdRp gene and VP1 gene were amplified under RT-PCR. **Results** Seven gastroenteritis outbreaks were caused by NoV. Among all the fecal specimens, 45 (67.2%) showed positive to NoV G II. Study on the genotype was conducted through analyzing the nucleotide sequence of RdRp gene. Based on the RdRp region, 7 strains appeared to be G II, with 3 and 38 strains belonged to G II.4-Sydney variants. Results from phylogenetic analysis confirmed that 38 variants shared 99% identity with G II.4-Sydney. We also amplified the VP1 genes from 6 variants and comparing with 9 epidemic strains on the sequence amino acid sequence. All the strains showed mutation in amino acid sequence at some key sites which were closely related to the forming of neutralizing epitopes. **Conclusion** The short interval periods between all 7 NoV outbreaks with identical viral strain indicated the emergence of a new NoV variant in Jiangsu province, that had caused a number of epidemics abroad. Results from our study suggested that the development of monitoring programs on this novel G II.4-Sydney variant should be a part of the NoV surveillance in Jiangsu province or even in the country.

【Key words】 Norovirus; Outbreak; Genotype; G II.4-Sydney variant

DOI: 10.3760/cma.j.issn.0254-6450.2013.08.013

基金项目:江苏省“十二五”科教兴卫工程(ZX201109);江苏省医学重点人才基金(RC2011084)

作者单位:210009南京,卫生部肠道病原微生物重点实验室/江苏省疾病预防控制中心(付建光、艾静、吴斌、邱贤、鲍昌俊、朱叶飞、汤奋扬);中国疾病预防控制中心病毒病预防控制所(靳森);苏州市疾病预防控制中心(刘成);无锡市疾病预防控制中心(沙丹);常州市疾病预防控制中心(姚萍)

通信作者:汤奋扬, Email: tfyepi@jscdc.cn

诺如病毒(NoV)是引起暴发和散发性非细菌性胃肠炎的重要病原体,全球约有80%~95%的胃肠炎是由NoV引起^[1]。NoV是单正链无包膜RNA病毒,根据其基因组的RNA聚合酶及衣壳蛋白核苷酸序列差异,NoV分为5个基因组(G I~G V)^[2]。G I 和 G II 组包含了大部分可感染人类的毒株,以 G II 组为主^[3]。NoV在过去的十几年中引发了多次全球感染暴发和流行,而每一次暴发中 G II .4 均占有重要位置^[4-8],且在散发流行中也有约60%~70% 的病例是由 G II .4 引起^[9]。我国是1995年由方肇寅等^[10]首次在小儿急性腹泻中发现NoV,近些年NoV G II .4 的流行毒株分别出现过Hills株、Hunter株、Sakai株、2006b及2008株等^[11-15],其中引起暴发及散发流行最多的是G II .4-2006b株,但对于最新出现的G II .4/Sydney变异株还鲜有报道。为此本研究对2012年10月至2013年3月江苏省胃肠炎暴发疫情中分离的G II .4/Sydney变异株进行分析。

材料与方法

1. 标本及核酸提取:收集江苏省7起NoV暴发疫情的肛拭子标本67份,-70℃冰冻保存。加入1 ml生理盐水至1.5 ml EP管中,加入0.1 g固体粪便标本或0.1 ml液体粪便标本,置于漩涡振荡器混匀,室温静置10 min,室温下≥5000 r/min离心5 min,吸取上清液,置-20℃冰箱保存。利用ABI自动核酸提取仪提取核酸,试剂采用ABI 5X MagMAXTM-96 Viral Isolation Kit(美国ABI公司),提取方法按照试剂盒说明书。

2. 检测方法:

(1) 实时荧光反转录聚合酶链反应(Real time RT-PCR):NoV G I 组和 G II 组定性检测的引物探针及反应条件均按文献报道^[16],试剂盒采用QuantiTect Probe RT-PCR Kit(德国QIAGEN公司)。扩增结束后将扩增曲线平滑且Ct值<33的判定为该组NoV阳性。

(2) 反转录聚合酶链反应(RT-PCR):将45份NoV阳性标本的聚合酶区进行普通RT-PCR扩增。试剂盒为Qiagen One Step RT-PCR Kit(德国QIAGEN公司)。引物及反应条件按文献报道^[17], -20℃保存PCR产物。对暴发优势株进行VP1区片段的扩增,试剂盒为Qiagen Long Range 2 Step RT-PCR Kit(德国QIAGEN公司)。引物及反应条件按文献报道^[18], -20℃保存PCR产物。

(3) 序列测定和分析:将PCR阳性产物送金斯

瑞(南京)科技有限公司纯化和测序。从GenBank的核酸序列数据库中下载国内外多株NoV的核酸序列片段,将下载序列同本研究检测到的NoV序列利用DNAStar公司的MegAlign 5.1软件,采用CLUSTALW方法进行序列比对,使用neighbor-joining法构建进化树。

结 果

1. NoV检出情况:采用荧光定量RT-PCR检测67份肛拭子标本检出NoV核酸阳性45份,检出阳性率为67.2%,均为G II 组NoV。

2. NoV聚合酶区序列测定及进化分析:按暴发时间将7起胃肠炎疫情中的45份阳性标本编号,字母A~G分别代表一起暴发疫情,数字代表排列序号。通过对NoV聚合酶区的序列进行分析比对,发现各NoV毒株的核苷酸同源性有较大差异,每一基因型内不同毒株核苷酸序列也有一定差异。所有测序序列在基因遗传进化树上所在的位置均在G II 分支上,毒株间同源性为63.2%~100%。其中7株(A1~A7)与2008年武汉株JQ751020最为接近,同源性为98.4%,其次是河北株EF670649(98.2%)、韩国株GU980585(97.9%)及Sakai株AB220922(96.8%),与其他参考株同源性为64.4%~93.6%,7株间的同源性为100%;另外的38株与2012年澳大利亚的Sydney株(JX459908)同源性最高,为99.1%~99.8%,与2007年日本的Osaka株(AB541319)为94.3%~95.1%,而与其他参考株同源性较低(64.5%~90.3%),38株彼此间核苷酸序列同源性为97.4%~100%。在构建的聚合酶区进化树中,A1~A7毒株与G II .3簇相近,而其余38株及G II .4/Sydney_2012株则形成了一个独立的分支,该分支在同源性上与Osaka 2007簇相近(图1)。这种毒株分支形成在以往国内报道的暴发及散发中尚未出现过相似型别,表明可能是国内出现的新变异毒株。

3. NoV蛋白VP1区序列测定及进化分析:7起疫情暴发中有6起是由新变异株引发,本研究选取6株变异株进行NoV蛋白VP1区序列测定。发现6株毒株仍然与2012 Sydney株同源性最高,为98.8%,其次就是2008 Apeldoorn株(AB445395)为96.2%,与其他G II .4型毒株在86.7%~95.2%间(图2)。

G II .4基因型别的多样性与NoV的组织血型抗原(histo-blood group antigen, HBGA)相关,每次伴随新NoV株胃肠炎周期性暴发的出现,与之相对应

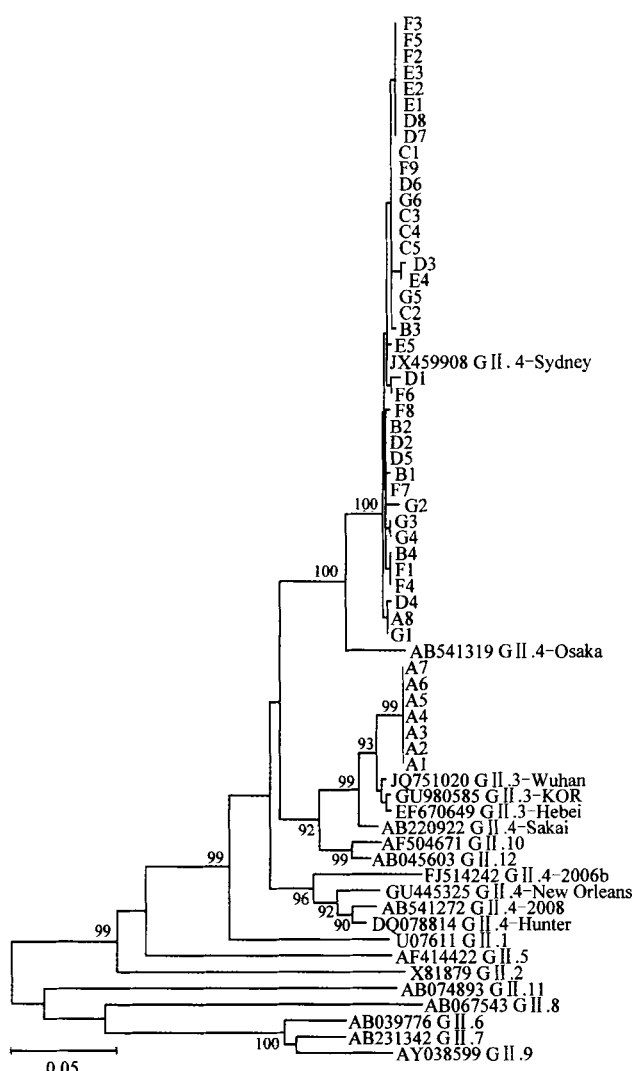


图1 NoV的RdRp区核苷酸序列进化分析

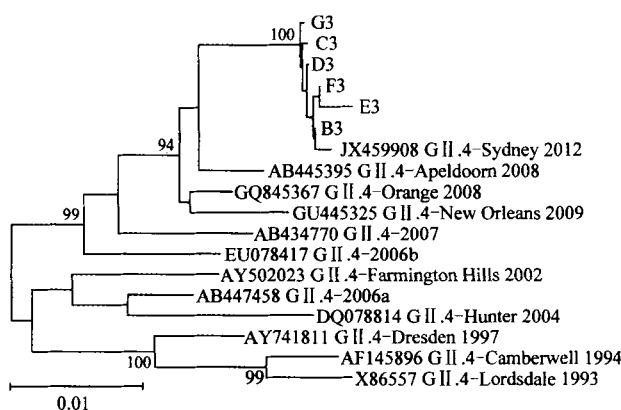


图2 NoV的VP1区核苷酸序列进化分析

的是其P2区至少2个关键模序位点的突变^[19]。表1为本研究6株Sydney变异株与9株近年流行的GII.4毒株的P2区进行氨基酸序列的比对。6株变异株及Sydney株在294位点(A→T)及368位点(N→E)上出现新的变化。另一个关键位点393~395位氨基酸同样影响病毒与HBGA的相互作用,6

株变异株在393位点由N突变为G,这也使得2个常见模序组合SRN-STT(296~298~393~395)变为SRN-GTT。此外,6株变异株在S区的119位氨基酸及P1区145位氨基酸均突变成新的氨基酸V,在P2区的非关键位点373位上突变成新的H,在另一个P1区的414位上突变成新的P(数据未显示)。

表1 15株NoV的VP1蛋白P2区氨基酸序列差异比较

NoV	氨基酸序列								
	294	296	297	298	368	372	393	394	395
Farmington Hills 2002	A	T	H	N	N	N	G	T	
Hunter 2004	A	T	Q	N	S	S	T	T	
2006a	A	T	Q	E	S	S	T	T	
2006b	A	S	R	N	S	E	S	T	T
Osaka 2007	A	S	R	N	A	D	S	T	T
Apeldoorn 2008	T	S	R	N	A	D	D	T	A
Orange 2008	A	S	R	N	A	D	N	T	A
New Orleans 2009	P	S	R	N	A	D	S	T	T
Sydney 2012	T	S	R	N	E	D	G	T	T
B3	T	S	R	N	E	D	G	T	T
C3	T	S	R	N	E	D	G	T	T
D3	T	S	R	N	E	D	G	T	T
E3	T	S	R	N	E	D	G	T	T
F3	T	S	R	N	E	D	G	T	T
G3	T	S	R	N	E	D	G	T	T

讨 论

本研究在2012年10月至2013年3月江苏省7起胃肠炎暴发疫情收集的67份样本中,均检出NoV阳性。其中最早发生的一起暴发疫情是由NoV GII.3型(A1~A7)引起,但同时该起暴发中另一样本(A8)并非GII.3型,而是最新GII.4/Sydney_2012亚型。说明该起暴发可能存在两种型别的NoV感染。NoV GII.3型是引起儿童胃肠炎散发感染的最常见病原体,在2000年后大部分检出的GII.3型均为重组毒株,其RdRp区为非GII.3型,最为常见的GII.b型。但在2003年后中国、日本和韩国检出的GII.3型单独归为一个亚型,其RdRp区基因型为GII.12型。本文分型结果同样显示检出的GII.3型其RdRp区与GII.12相近^[20]。第二起至最后一起疫情均由GII.4型引发,各毒株间的同源性很高(97.4%~100%),与2012年澳大利亚参考株GII.4/Sydney株同源性均>99%,短时间内多次暴发表明该GII.4/Sydney变异株正在江苏省内流行。GII.4-Sydney株自2012年在澳大利亚被分离后,迅速在世界各地引起暴发和流行^[21,22]。

本研究表明,新出现的Sydney变异株在VP1蛋白P2区的294位点(A→T)、368位点(N→E)、393位

点(N→G)均出现突变,致使2个常见的模序组合SRN-STT(296–298~393–395)变为SRN-GTT。这些关键位点氨基酸的突变,使毒株的HBGA识别模序即中和抗原表位发生了变化,而抗原表位的改变驱动HBGA亲和力改变及人群易感性的改变,导致人群现有免疫力对其难以抵抗,因此在短时间内引起爆发性流行^[23–25]。此外,Sydney变异株P1-1区145位氨基酸突变成为新的氨基酸V,在一个P1-2区的414位上突变成新的P。有研究发现G II.4-2002株及其变异株的2个点突变就造成了病毒免疫原性和受体结合功能的变化,而其中一个突变正是位于P1区中接近铰链位置226位点(P→S),因此P1区可能也含有关键抗原表位,并对抗体的特异性有重要影响^[19,24]。

在胃肠炎暴发疫情中首次发现G II.4/Sydney_2012变异株,在随后常规的监测中也发现该病毒,说明其不仅可引起暴发,也出现在散发病例中,并有可能迅速成为我国及周边国家的流行株。由于人群普遍对其缺乏免疫力,应作为监测的重点毒株。

参 考 文 献

- [1] Patel MM, Hall AJ, Vinjé J, et al. Noroviruses: a comprehensive review. *J Clin Virol*, 2009, 44(1):1–8.
- [2] Zheng DP, Ando T, Fankhauser RL, et al. Norovirus classification and proposed strain nomenclature. *Virology*, 2006, 346(2):312–323.
- [3] Hall AJ, Vinjé J, Lopman B, et al. Updated norovirus outbreak management and disease prevention guidelines. US Department of Health and Human Services, Centers for Disease Control and Prevention, 2011.
- [4] Belliot G, Kamel A, Estienney M, et al. Evidence of emergence of new ggii. 4 norovirus variants from gastroenteritis outbreak survey in france during the 2007-to-2008 and 2008-to-2009 winter seasons. *J Clin Microbiol*, 2010, 48(3):994–998.
- [5] Eden JS, Bull RA, Tu E, et al. Norovirus G II.4 variant 2006b caused epidemics of acute gastroenteritis in australia during 2007 and 2008. *J Clin Virol*, 2010, 49(4):265–271.
- [6] Siebenga JJ, Vennema H, Zheng DP, et al. Norovirus illness is a global problem: emergence and spread of norovirus ggii. 4 variants, 2001–2007. *J Infect Dis*, 2009, 200(5):802–812.
- [7] Vega E, Barclay L, Gregoricus N, et al. Novel surveillance network for norovirus gastroenteritis outbreaks, united states. *Emerg Infect Dis*, 2011, 17(8):1389.
- [8] Zheng DP, Widdowson MA, Glass RI, et al. Molecular epidemiology of genogroup ii-genotype 4 noroviruses in the united states between 1994 and 2006. *J Clin Microbiol*, 2010, 48(1):168–177.
- [9] Hoa Tran TN, Trainor E, Nakagomi T, et al. Molecular epidemiology of noroviruses associated with acute sporadic gastroenteritis in children: global distribution of genogroups, genotypes and ggii.4 variants. *J Clin Virol*, 2013, 56(3):185–193.
- [10] Fang ZY, Wen LY, Jin SJ, et al. Norwalk-like virus infection found in diarrhea patients in China. *Chin J Virol*, 1995, 11(3):215–219. (in Chinese)
- [11] 方肇寅,温乐英,晋圣瑾,等.在我国腹泻患儿中发现诺瓦克样病毒感染. *病毒学报*, 1995, 11(3):215–219.
- [12] Gao Y, Jin M, Cong X, et al. Clinical and molecular epidemiologic analyses of norovirus-associated sporadic gastroenteritis in adults from Beijing, China. *J Med Virol*, 2011, 83(6):1078–1085.
- [13] Zeng M, Xu X, Zhu C, et al. Clinical and molecular epidemiology of norovirus infection in childhood diarrhea in China. *J Med Virol*, 2012, 84(1):145–151.
- [14] Fang ZY, Xie HP, Lv HX, et al. Investigation of human calicivirus (HuCV) diarrhea among infantile and young children in China, 1999–2005. *Chin J Virol*, 2007, 23(1):9–15. (in Chinese)
方肇寅,谢华萍,吕红霞,等.1999—2005年我国婴幼儿人杯状病毒腹泻研究. *病毒学报*, 2007, 23(1):9–15.
- [15] Wu W, Zhang HB, Zhang HL, et al. The genotype of norovirus in Shenzhen, 2010. *Chin J Virol*, 2012, 28(3):219–223. (in Chinese)
吴微,张宏斌,张海龙,等.2010年深圳地区诺如病毒的基因分型. *病毒学报*, 2012, 28(3):219–223.
- [16] Trujillo AA, McCaustland KA, Zheng DP, et al. Use of taqman real-time reverse transcription-pcr for rapid detection, quantification, and typing of norovirus. *J Clin Microbiol*, 2006, 44(4):1405–1412.
- [17] Nayak MK, Balasubramanian G, Sahoo GC, et al. Detection of a novel intergenogroup recombinant norovirus from Kolkata, India. *Virology*, 2008, 377(1):117–123.
- [18] Motomura K, Oka T, Yokoyama M, et al. Identification of monomorphic and divergent haplotypes in the 2006–2007 norovirus ggii/4 epidemic population by genomewide tracing of evolutionary history. *J Virol*, 2008, 82(22):11247–11262.
- [19] Allen DJ, Gray JJ, Gallimore CI, et al. Analysis of amino acid variation in the P2 domain of the ggii-4 norovirus VP1 protein reveals putative variant-specific epitopes. *PLoS One*, 2008, 3(1):e1485.
- [20] Mahar JE, Bok K, Green KY, et al. The importance of intergenic recombination in norovirus ggii. 3 evolution. *J Virol*, 2013, 87(7):3687–3698.
- [21] Center of Disease Control and Prevention. Emergence of new norovirus strain G II.4 sydney—United States, 2012. *MMWR*, 2013, 62(3):55.
- [22] van Beek J, Ambert-Balay K, Botteldoorn N, et al. Indications for worldwide increased norovirus activity associated with emergence of a new variant of genotype II.4, late 2012. *Euro Surveill*, 2013, 18(1):8–9.
- [23] Debbink K, Donaldson EF, Lindesmith LC, et al. Genetic mapping of a highly variable norovirus ggii. 4 blockade epitope: potential role in escape from human herd immunity. *J Virol*, 2012, 86(2):1214–1226.
- [24] Lindesmith LC, Donaldson EF, LoBue AD, et al. Mechanisms of ggii.4 norovirus persistence in human populations. *PLoS Med*, 2008, 5(2):e31.
- [25] Zakikhany K, Allen DJ, Brown D, et al. Molecular evolution of ggii-4 norovirus strains. *PLoS One*, 2012, 7(7):e41625.

(收稿日期:2013-04-08)

(本文编辑:张林东)